

# ТИПЫ ГЕОЛОГО-СТРУКТУРНЫХ ОБСТАНОВОК ПРОЯВЛЕНИЯ ЗОЛОТО- И СЕРЕБРОРУДНОЙ МИНЕРАЛИЗАЦИИ В ЯНО-КОЛЫМСКОЙ И ЗАПАДНО-ВЕРХОЯНСКОЙ ПРОВИНЦИЯХ, СЕВЕРО-ВОСТОК ЯКУТИИ

А.И.Некрасов

ООО «УК «ВостокУголь»,  
Московская область, с. Усово

*Рассмотрены геолого-структурные обстановки локализации благороднометального оруденения: развитие оруденения на определённых стратоуровнях, в градиентных зонах геофизических полей, преимущественно на «плечах» антиклинальных структур на участках их максимального воздымания в Яно-Колымской провинции и на участках их перегибов в Западно-Верхоянской провинции. Значительную роль в локализации оруденения играют поля взаимодействия нескольких систем региональных и надрегиональных разломов.*

*Ключевые слова:* Верхояно-Колымская складчатая область, Яно-Колымская золотоносная провинция, Западно-Верхоянская сереброрудная провинция, рудный узел, рудное поле, месторождение.

Минерально-сырьевой потенциал благородных металлов Верхояно-Колымской складчатой области в значительной степени связан с объектами, находящимися в пределах двух крупных минерагенических единиц – Яно-Колымской золотоносной и Западно-Верхоянской сереброрудной провинций. Месторождения и проявления провинций тяготеют соответственно к Яно-Колымскому и Верхоянскому складчато-надвиговым поясам, представляющим собой в совокупности внешнюю зону позднемезозойской коллизионной системы. Между ними выделяется Яно-Индигирская сереброносная провинция, приуроченная к Яно-Охотскому складчато-глыбовому поясу. В данной работе она не рассматривается, поскольку серебро в её объектах является главным образом попутным компонентом, хотя порой и значительным. Близостью Верхоянского пояса к Сибирской платформе, а Яно-Колымского к осевой зоне коллизии определяются как сходство геолого-структурных об-

становок локализации оруденения в них, так и различия.

Очевидно, что причины сходства и различия в строении провинций обусловлены их принадлежностью к области внутриплитной коллизии. Формирование позднепалеозойских – раннемезозойских прогибов без океанических раскрытий (связанное с предыдущей эволюцией региона) было возможно благодаря многоуровневой горизонтальной расслоенности литосферы. Внутриплитная коллизия – результат тангенциального сжатия, транслируемого с южной и северо-восточной (в современных координатах) конвергентных границ региона. Коллизия Северо-Азиатского кратона и Колымо-Омолонского блока с их одновременным разнонаправленным вращением относительно друг друга без образования зоны субдукции определялась относительными смещениями расслоенных горизонтов литосферы с «торошением» и «короблением» пластин, границами которых

служили структурно-формационные зоны предколлизионных прогибов. Разгрузка вращательных напряжений осуществлялась по диагональным (к общему простиранию коллизионной структуры) разломам и поперечным разрывам Вилюйско-Полоусненской системы. Последние определяли положение раннедокембрийских кратонных блоков в структуре пограничной зоны между Северо-Азиатским кратоном и Тихоокеанским подвижным поясом. Отсутствие зоны субдукции привело к распределению коллизионных нагрузок на значительный объём литосфера и формированию широкой продольно-изометрической коллизионной области. Весь этот ряд последовательных и взаимосвязанных событий обусловил своеобразную структуру и вещественный состав поясов, составляющих коллизионную область, и именно такое размещение минерагенических провинций, которое наблюдается.

Рудные объекты Яно-Колымской и Западно-Верхоянской провинций вмещает терригенная позднепалеозойско – раннемезозойская толща верхоянского комплекса. Уже давно отмечалось [5, 6, 8, 9, 12, 13; А.И.Некрасов, 1997 г., 2006 г.], что почти все значимые золото- и сереброрудные объекты в этих провинциях связаны с определёнными дискретными стратоуровнами. При ближайшем рассмотрении можно сделать вывод, что большинство основных благороднометальных объектов внешней зоны коллизии (Верхоянского, Яно-Охотского, Яно-Колымского поясов) приурочены к дискретным стратоуровнам, охватывающим лишь ~20% возрастного диапазона и 10% общей мощности верхоянского комплекса (рис. 1).

С такими уровнями связаны аномальные концентрации различных металлов в самих осадочных толщах и аутигенных стяжениях, конкрециях и метакристаллах куларита, пирита и арсенопирита [11, 14 и др.]. Для ряда объектов, например Мангазейского рудного поля, выделяется этап предрудной подготовки [11]. Возможно, он характерен для большинства объектов коллизионной области, что позволяет говорить о полихронности и полигенности благороднометальных объектов региона, не оспаривая их преимущественно гидротермальный генезис. Обогащённость дискретных стратоуровней рудными компонентами можно связывать с активизацией подводных гидротерм, обусловленной выделе-

нием флюидов при формировании горизонтальной расслоенности (образовании уплотнённых хрупкопластичных горизонтов в нижних частях гранито-метаморфического и гранулито-базитового слоёв). Физико-химические преобразования в нижней литосфере могли быть «геологически мгновенными» [3] как реакция на накопление критической массы осадков в вышележащем прогибе. Это определило дискретность металлогенерирующих стратоуровней.

Представляется, что разгрузка подводных гидротерм происходила не по всей площади накопления осадков стратоуровня, а лишь в узлах пересечения основных разломов, определявших границы различных литолого-фаунистических комплексов палеобассейнов. В любом случае, литолого-формационный контроль благороднометальных объектов, локализованных в толще верхоянского комплекса, является общим для Яно-Колымской и Западно-Верхоянской провинций и ограничивает выбор поисковых площадей, перспективных на обнаружение выходящих на дневную поверхность и не глубоко залегающих объектов.

Также общей для Яно-Колымской и Западно-Верхоянской провинций является парагенетическая связь оруденения с коллизионным магматизмом. В соответствии с характером горизонтальной расслоенности литосферы коллизионной области могли существовать два основных уровня магмогенерации. На эклогитизированном горизонте гранулито-базальтового слоя (скоро, его кровле на разделе с вышележащим одинарным базальтовым слоем) могли возникать магмы ультраосновного – среднего состава повышенной щёлочности, что нашло отражение в формировании поясов раннеколлизионных даек и малых интрузий соответствующего состава. Тела магматитов контролируются продольными (субсогласными с простиранием основных структурных элементов коллизионной области) зонами глубинных разломов, фиксируемыми гравитационными максимумами (Дулгалахский, Бурхала-Олерский, Нижне-Янский, Адыча-Тарынский). С этими зонами связано наиболее глубинное монометальное сурьмяное и ртутное оруденение, не подчинённое продольно-концентрической зональности размещения основных минерагенических единиц региона. Вторым уровнем магмогенерации мог быть уплотнённый хрупко-пластичный горизонт в нижней ча-

## Прикладная металлогения

Cnctemra Opckaa	Отдел	Ярус	Подъярус	Рудовмещающие стратоуровни	Верхоянский складчато-надвиговый пояс	Яно-Охотский складчато-глыбовый пояс	Яно-Колымский складчато-надвиговый пояс
	Средний						Проявления Хастыр, Булат, Юбилейное (Яно-Индигирская провинция); Халдыкчанское золоторудное поле
	Нижний						Тарынский рудный узел; проявления Северо-Западный Тарын, Бурустах, Базовое, Жданное, Сюраминское, Адычанская терраса, Лазо-Рудное, Вьюн (Яно-Колымская провинция)
Tnacobear	Верхний	Норийский	Верхний	Карнийский	Проявления Заря, Вершинное, Восточное, Кюстелен, (Западно-Верхоянская провинция); месторождения Илин-Тас, Алтыс-Хая, Улахан-Эгэнях (Яно-Индигирская провинция)	Месторождение Бадран, проявления Талалахское, Джайбинское (Яно-Колымская провинция); месторождение Купольное, проявления Курдат, Вешнее (Западно-Верхоянская провинция)	Тарынский рудный узел; проявления Северо-Западный Тарын, Бурустах, Базовое, Жданное, Сюраминское, Адычанская терраса, Лазо-Рудное, Вьюн (Яно-Колымская провинция)
	Средний						
	Нижний						
Tnacobear	Верхний	Ладинский	Верхний	Нижний	Золоторудное месторождение Коус	Проявления Полярник, Депловицкое, Дербекинская группа (Яно-Колымская провинция)	Проявления Полярник, Депловицкое, Дербекинская группа (Яно-Колымская провинция)
	Средний						
	Нижний						
Lepmckaar	Анизи-			Меникенское рудное поле (Западно-Верхоянская провинция)	Месторождение Прогноз, проявления Медвежье, Сюрприз, Этельях (Западно-Верхоянская провинция)	Ветренское рудное поле (Яно-Колымская провинция)	Ветренское рудное поле (Яно-Колымская провинция)
	Ски						
	Нижний						
Lepmckaar	Верхний			Проявление Нюэль (Западно-Верхоянская провинция)	Аллара-Сахский, Нижнеимиканский рудные узлы, месторождение Верхнее Менкече, проявления Право-Хунхадинское, Браимин (Западно-Верхоянская провинция)	Проявления Олбот, Верхний Хакчан (Яно-Колымская провинция)	Проявления Олбот, Верхний Хакчан (Яно-Колымская провинция)
	Средний						
	Нижний						
Kamehoyrolphar	Верхний			Проявление Берёзкинское (Западно-Верхоянская провинция)	Месторождения Кыллах, Мастих, явления Альфа, Эмись, Емельяновское (Яно-Индигирская провинция)	Месторождения Наталка, Дегдекан, Токчан, Павлик, Родионовское (Яно-Колымская провинция)	Месторождения Наталка, Дегдекан, Токчан, Павлик, Родионовское (Яно-Колымская провинция)
	Средний						
	Нижний						

**Рис. 1. Стратоуровни верхоянского комплекса, вмещающие золоторудные, сереброрудные и серебросодержащие объекты Верхояно-Колымской складчатой области:**

в колонке – соотношение стратоуровней (чёрные) и общей мощности верхоянского комплекса по мощностям, близкое к таковой в реальных разрезах

сти гранито-метаморфического слоя, в кровле которого накапливался остаточный расплав, богатый летучими и рудными компонентами, явившийся материнским для рудоносных флюидов. На позднеколлизионном этапе происходили кристаллизация остаточного расплава (коллизионные гранитоиды) и формирование вертикальной зональности оруденения. Учитывая то, что кровля магмогенерирующего горизонта воздымалась от тыловой (Верхоянский пояс – Западно-Верхоянская провинция) к передовой (Яно-Колымский пояс – Яно-Колымская провинция), и пренебрегая величиной эрозионного среза (так как она на порядок меньше глубины залегания магмогенерирующего слоя), можно констатировать закономерную картину локализации объектов наиболее «удалённых» благороднометальных рудных формаций (сереброрудной и серебро-полиметаллической) в тыловой зоне коллизии и наименее «удалённой» (золото-кварцевой) в передовой.

Несмотря на явную парагенетическую связь с коллизионным гранитоидным магматизмом, практически все значимые месторождения и проявления удалены от гранитоидных массивов по латерали и вертикали. Исключение составляют оруденелые дайки, реже малые интрузии и субвуликанические тела, фиксируемые в пределах рудных узлов и полей. Удалённость от гранитоидов и эпицентров отрицательных гравитационных и положительных магнитных аномалий не подчиняется какой-либо определённой зависимости. Тем не менее, все крупные объекты, рудные поля и узлы приурочены к наиболее напряжённым локальным градиентным зонам, иными словами, – к зонам крутого погружения интрузивов, а не к их арочной кровельной части. Это видно на примере Мангазейского [11; А.И.Некрасов, 2006 г.], Меникенского (Л.Г.Тютюнников, 1974 г.), Кимпиче-Берелехского (А.Н.Федягин, А.И.Некрасов и др., 2005 г.), Чочимбальского (А.Н.Федягин, А.И.Некрасов, 2005 г.) рудных полей Верхоянской провинции, Тарынского рудного поля (А.В.Крючков, Н.Н.Крючкова, 2007 г.), Наталкинского месторождения [10], рудопроявлений Полярник, Делювиальное (Р.Г.Султанов, 2008 г., 2012 г.) и многих других объектов Яно-Колымской провинции. Сходная закономерность наблюдается и в отношении положительных гравитационных аномалий, соответствующих зонам глубинных разломов. Особенно контрастно

она проявлена в Яно-Колымской провинции, где в узком поле гравитационного максимума, связанного с осевой зоной Адыча-Тарынской системы глубинного разлома, локализованы только золото-сурьмяные объекты, а все месторождения и наиболее значимые рудопроявления золото-кварцевой формации группируются в градиентных зонах на удалении 1–25 км к западу и востоку от гравитационного максимума.

Яно-Колымская золотоносная провинция, ограниченная рамками юго-восточной части одноимённого складчато-надвигового пояса (рис. 2), в наибольшей степени отвечает определению провинции. Во-первых, она локализована в пределах одной крупной структуры региона – Яно-Колымском поясе, во-вторых, в ней сосредоточено не менее 90% запасов и прогнозных ресурсов рудного и россыпного золота всей Верхояно-Колымской складчатой области, в-третьих, в ней имеются крупные и гигантские по масштабам месторождения (Наталкинское), в-четвёртых, наиболее значительная часть запасов и прогнозных ресурсов золота находится в месторождениях одного ведущего формационного типа (золото-кварцевого), в-пятых, она характеризуется единными транспортной и энергетической структурами и в целом единством социально-экономического пространства [7].

В размещении золоторудных объектов и золотых россыпей Яно-Колымской провинции прослеживается несколько очевидных закономерностей. Так, большинство крупных россыпных объектов Центрально-Колымского района находятся в пределах Иньяли-Дебинской синклиниорной структуры (отделённой от антиклиниорных структур Яно-Колымского пояса Яарки-Индигирским надвигом и его юго-восточным продолжением – Чай-Юрьянским взбросом), где отсутствуют значительные золоторудные проявления, приуроченные к Аян-Юряхской антиклиниорной структуре. В Верхне-Индигирском и Адычанском районах практически все значительные россыпи сосредоточены в пределах Адычанской антиклиниорной структуры, т.е. пространственно совмещены с рудными объектами. Все крупные золоторудные месторождения и проявления локализованы в пределах системы Адыча-Тарынского глубинного разлома шириной 10–40 км, причём в осевой его зоне (3–7 км) в области гравитационного максимума проявлено золото-сурьмяное оруденение, а золоторудное имеет подчинённое

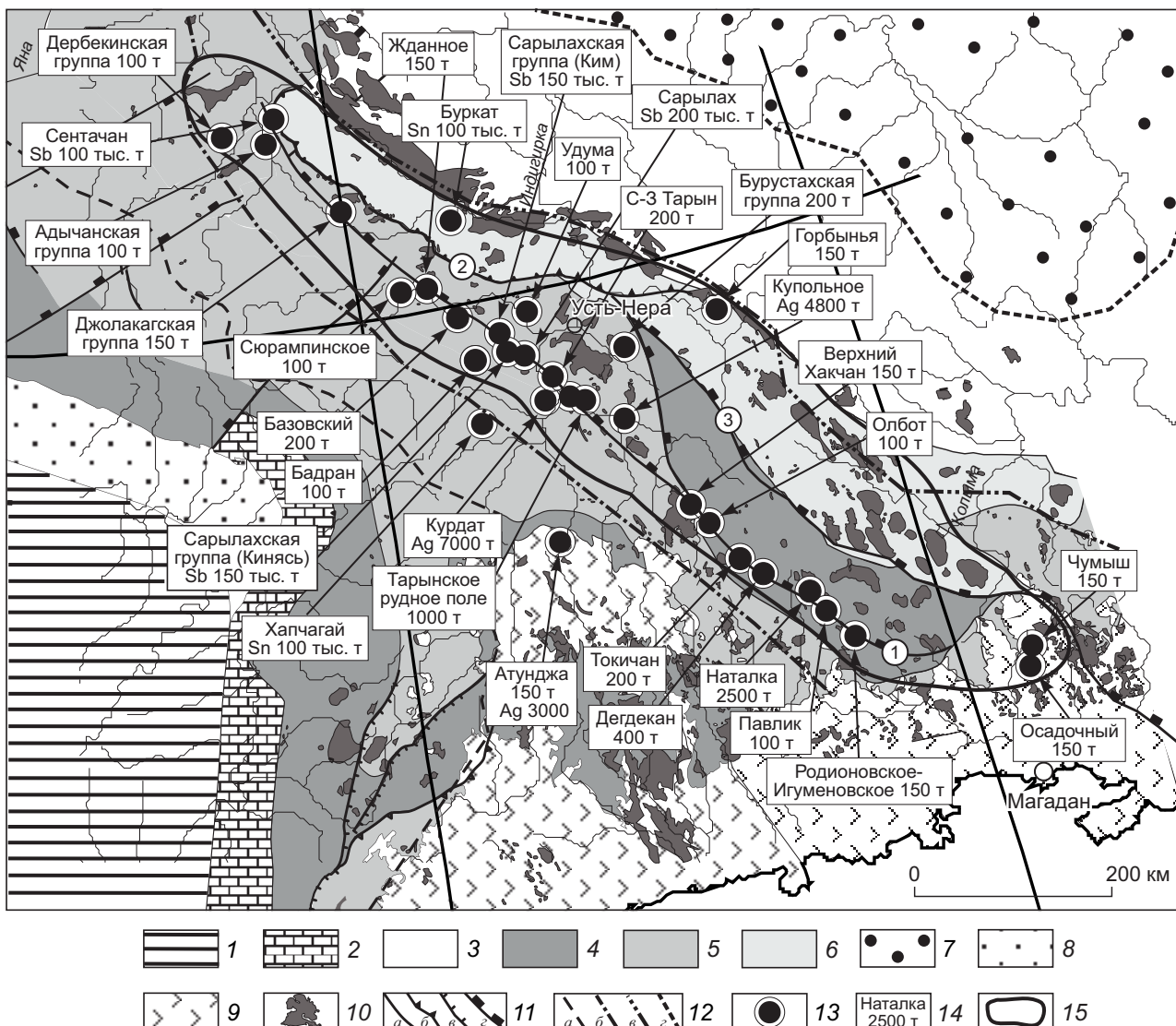
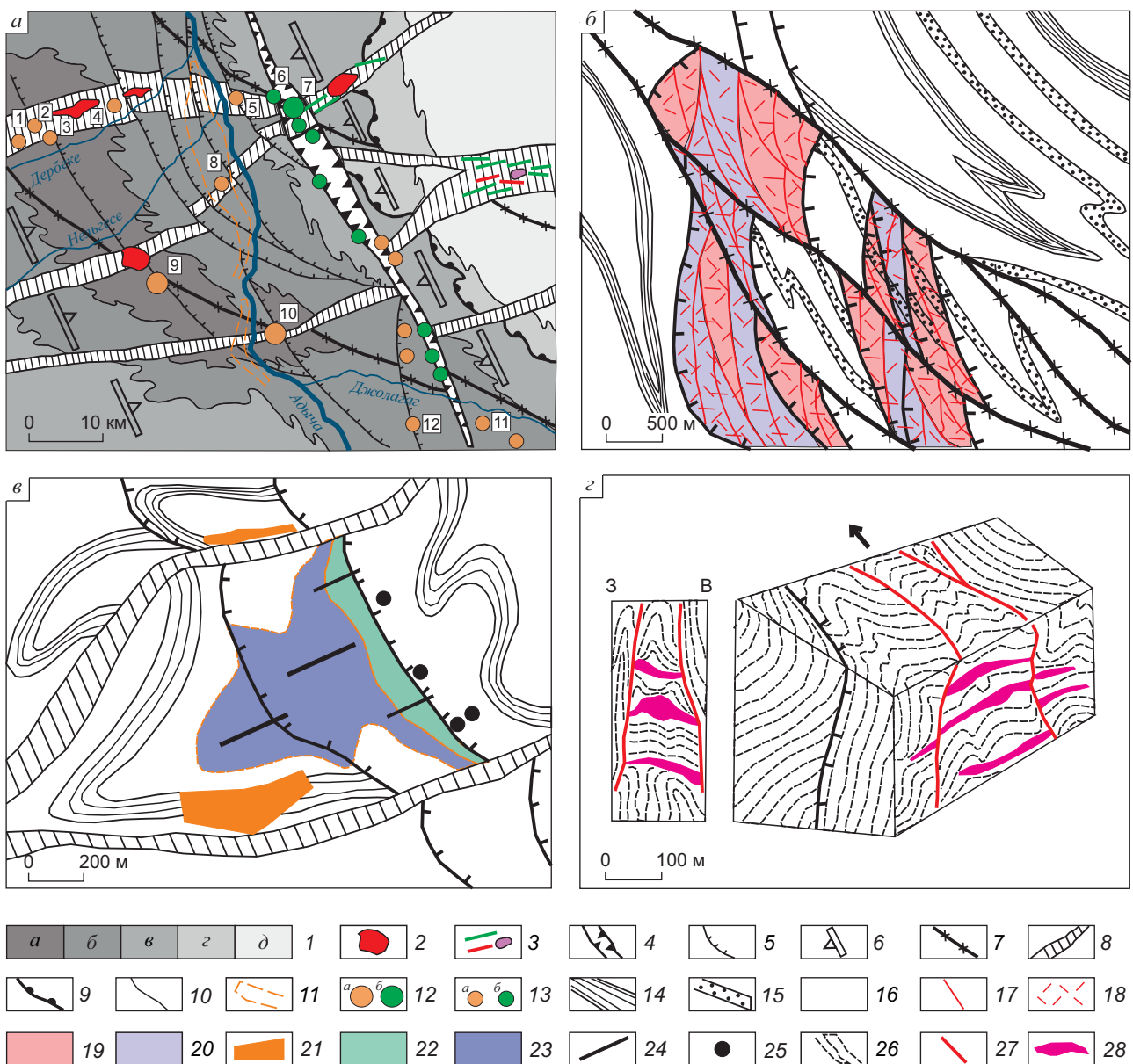


Рис. 2. Схема размещения на геологической основе наиболее крупных объектов золото-кварцевой, золото-серебряной, золото-сульфидной, серебро-полиметаллической, олово-серебро-полиметаллической, вольфрам-оловянной касситерит-кварцевой формаций в пределах Яно-Колымского пояса [по А.А.Узюнкояну, ОАО «Якутскгеология», с добавлениями и изменениями]:

1 – чехольные отложения Сибирской платформы; 2 – рифейские – верхнепалеозойские терригенно-карбонатные отложения Сетте-Дабанского пояса; 3 – докембрийские – нижнемезозойские породы Черско-Полоусненского пояса; 4, 5 – отложения Верхоянского, Яно-Охотского, Яно-Колымского поясов: верхнепалеозойские терригенные (4), триасовые – нижнеюрские (5); 6 – верхнеюрские терригенные породы Иньали-Дебинского сегмента Яно-Колымского пояса; 7 – средне-верхнеюрские терригенные отложения Илин-Тасского пояса; 8 – верхнеюрские – меловые отложения Предверхоянского пояса; 9 – меловые вулканогенные отложения Охотско-Чукотского вулканического пояса; 10 – коллизионные гранитоидные массивы Главного пояса гранитоидов Черского; 11 – региональные разломы (а – сдвиги, б – надвиги, в – сбросы, г – взбросо-надвиги); 12 – границы поясов (а – восточная Верхоянского, б – Яно-Охотского, в – Яно-Колымского, г – Черско-Полоусненского); 13 – наиболее крупные месторождения, рудопроявления, рудные поля, узлы; 14 – запасы (т) и прогнозные ресурсы (тыс. т) месторождений, в некоторых случаях суммарно с потенциалом конкретных рудных полей или узлов; 15 – условный контур Яно-Колымской золотоносной провинции; цифры в кружках: 1 – Адыча-Тарынская система взбросов, 2 – Чаркы-Индигирский надвиг, 3 – Чай-Юрыинский взброс



**Рис. 3. Условия локализации золоторудных объектов Яно-Колымской золотоносной провинции в зоне влияния Адыча-Тарынского разлома. Схема размещения золоторудных и золото-сурьмянных объектов перспективной площади для поисков крупнообъемных золоторудных объектов на участке максимального «воздымания» Адычанской антиклинальной структуры Яно-Колымского складчато-надвигового пояса [по материалам В.Н.Соловьева, Р.Г.Султанаева, ОАО «Янгеология»] (а). Схематические структурные планы рудопроявлений Делювиальное (по материалам В.Н.Соловьева, Р.Г.Султанаева, ОАО «Янгеология», с изменениями) (б), Полярник (по материалам А.Н.Вишневского, Р.Г.Султанаева, ОАО «Янгеология») (в). Блок-диаграмма и схематический разрез по месторождению Дражное (по материалам А.В.Крючкова, Н.Н.Крючковой, 2010 г., с изменениями) (г):**

1 – отложения (а – среднеюрские песчаники с пластами алевролитов, б – нижнеюрские алевролиты и аргиллиты с редкими прослойями песчаников, в – верхнетриасовые норийские алевролиты и аргиллиты с пластами песчаников, редкими в верхней части разреза, г – верхнетриасовые карнийские аргиллиты и алевролиты с прослойями песчаников и пачками чередования аргиллитов, алевролитов и песчаников, д – среднетриасовые

ладинские алевролиты и аргиллиты с прослойми песчаников); 2, 3 – магматические комплексы «поперечных» рядов: биотитовые, амфибол-биотитовые и двуслюдянные граниты (2), дайки амфиболовых долеритов, лампрофиров, дайки и штоки гранодиорит-порфиров (3); Адыча-Тарынский разлом: шовная зона (4), оперяющие листрические сбросы (5), границы (6); 7 – взбросо-сдвиги «диагональной» Собопольской системы разломов; 8 – взбросы «широтной» Вилюйско-Полоусненской системы разломов; 9 – Чаркы-Индигирский надвиг; 10 – геологические границы; 11 – контур крупной террасовой россыпи р. Адыча; 12 – месторождения и крупные проявления золото-кварцевой (а), золото-сурьмяной (б) формаций; 13 – недоизученные проявления золото-кварцевой (а), золото-сурьмяной (б) формаций; номера на схеме: Дербекинская группа проявлений (1 – Хоспох, 2 – Роговиковый, 3 – Галечный, 4 – Эннербит, Дионис), 5 – Лазо-Рудное, 6 – Марковское, 7 – Сентачан, 8 – Лазо-Терраса, 9 – Делювиальное, 10 – Полярник, 11 – Ганн-Андреевское, 12 – Наледное; 14 – пакеты тонкого переслаивания песчаников и алевролитов; 15 – пласти песчаников; 16 – верхнеладинские алевролиты и аргиллиты; 17 – кварцевые жилы и зоны прожилкования, субсогласные с разрывами Адыча-Тарынской системы разломов; 18 – тонкое неориентированное сульфидно-кварцевое прожилкование; блоки со средними содержаниями Au 1,6–2,4 г/т (19), 0,8–1,5 г/т (20); 21 – контуры богатых отработанных террасовых россыпей; 22 – рудное тело со средним содержанием Au 2,3 г/т; 23 – контур со средними содержаниями Au 0,9–1,2 г/т; 24 – канавы; 25 – скважины; 26 – рудовмещающая пачка, плотные березитизированные мелкозернистые алевролиты верхнего подъяруса норийского яруса (зона *Monotis scutiformis*); 27 – рудовмещающие разрывы системы Адыча-Тарынского разлома; 28 – субсогласные рудные тела

значение и ограниченные масштабы. В градиентной области к востоку и западу от осевой зоны, но в пределах общей системы Адыча-Тарынского разлома, и локализованы почти все золото-рудные объекты. Следует отметить отсутствие в Яно-Колымской провинции значительных по масштабу рудопроявлений золото-сульфидной формации. Вернее сказать, они есть, но крайне мало изучены.

Все значимые объекты, а также большая часть мелких месторождений и рудопроявлений золото-кварцевой формации группируются в градиентных зонах системы Адыча-Тарынского разлома. Ширина шовной зоны разлома, представленная одной или несколькими зонами катаклаза, брекчирования и рассланцевания, составляет 0,5–4 км. Здесь сосредоточены все золото-сурьмяные объекты и ряд мелких золото-кварцевых проявлений жильного и жильно-прожилкового типов. Градиентные зоны магнитного и гравитационного полей, в пределах которых локализованы все значимые золоторудные объекты провинции, расположены в висячем и лежачем крыльях шовной зоны, так что общая ширина зоны влияния Адыча-Тарынской системы разломов составляет 10–40 км. Очевидно, что именно шовная зона разлома является не только рудовмещающей для золото-сурьмяных объектов, но и рудораспределяющей для объектов золото-кварцевой формации, несмотря на их локализацию вне зоны. Шовная зона Адыча-Тарынского разлома характеризуется взбросо-сдвиговой ки-

нематикой и падает на восток, рассекая мегаскладки главным образом по их шарнирам. Простирание её субсогласное с продольными осями мегаскладок.

Также несколько разноплановым является характер разрывной тектоники в висячем и лежачем крыльях шовной зоны. В северо-западном крыле развита система листрических сбросов, сопряжённых с шовной зоной разлома (рис. 3). Система контролирует значительное число объектов провинции (месторождения Павлик, Декдеканско, Наталкинское, Верхний Хакчан, Мало-Тарынское, Сюрампинское, проявления Эльгинского рудного узла, Полярник, Делювиальное, проявления Дербекинской группы). На участках сближенных систем листрических сбросов сформированы объёмные, крупные и гигантские месторождения и проявления (Наталкинское и др. в Ат-Юряхской антиклинальной структуре, Делювиальное в Адычанской структуре). В юго-восточном (висячем) крыле системы Адыча-Тарынского разлома наблюдается система субпараллельных шовной зоне крутых взбросов, являющихся рудоконтролирующими и рудовмещающими.

Яно-Колымская провинция находится в пределах двух основных структур одноимённого пояса – синклинальной Иняли-Дебинской, с которой связан основной россыпной потенциал, и антиклинальной (Аян-Юряхский, Верхне-Индигирский, Адычанский, Туостахский антиклинарии), вмещающей практически все значимые рудные

объекты. Эти две мегапластины разделяются Чай-Юрьинским взбросом и его северо-западным продолжением – Чаркы-Индигирским надвигом. Антиклинарная структура представлена серией вложенных друг в друга наклонных и опрокинутых конических, аксоноклинальных складок, рассечённых в осевой зоне серией разломов Адыча-Тарынской системы. Каждая коническая мегаскладка отвечает определённой антиклинальной структуре (рис. 4) с конкретным возрастом пород, слагающих ядерную часть и вмещающих золотое оруденение. Возраст вмещающих оруденение пород в мегаскладках закономерно омоложен в северо-западном и далее в северо-восточном направлениях в соответствии с общим планом структур коллизионной области. В Аян-Юряхском антиклинарии это позднепермский и среднеанизийский стратоуровни, Верхне-Индигирском – позднекарнийский и средняя зона поздненорийского стратоуровня, Адычанском – позднеладинский, позднекарнийский и поздненорийский (средняя и верхняя зоны), Туостахском – верхняя зона норийского и среднеюрский стратоуровень. В пределах Погоусненского антиклинария, где находятся оловорудные и олово-серебро-полиметаллические объекты, возраст пород, вмещающих оруденение, поздненорийский и среднеюрский.

Конические мегаскладки, слагающие антиклинарную структуру, изогнуты в трёх пространственных измерениях (см. рис. 4). Для локализации оруденения наибольшее значение имеет ундуляция продольной оси мегаскладок в северо-западном (Аян-Юряхская, Верхне-Индигирская, Адычанская антиклинарные структуры) и северо-восточном (Туостахская, Погоусненская антиклинарные структуры) направлениях с воздыманием шарнира каждой мегаскладки и последующим погружением к участку, где в эту коническую мегаскладку вложена следующая (см. рис. 4). Рудные узлы и рудные районы группируются в зоне максимального воздымания шарнира каждой мегаскладки и на сопряжённых участках воздымания и погружения шарнира. Напротив, на участках сочленения конических мегаскладок локализованы лишь единичные непротяжённые жильные и прожилковые золоторудные тела, служившие, как максимум, лишь источниками некрупных россыпей. Очевидная причина такого размещения объектов в наиболее полно представленных разрезах стратоу-

ровней на участках максимального воздымания шарниров. В участках сочленения (подстраивания) мегаскладок и на их крыльях наблюдаются более молодые по отношению к стратоуровням толщи. Вероятно, определённую роль играет максимальная степень изгиба структур в охарактеризованных зонах мегаскладок. Следствием является максимальное развитие здесь поперечных сколовых и диагональных взбросо-сдвиговых разрывов, часто вмещающих оруденение. Сближенные системы данных разрывов формируют линейно-штокверковые жильно-прожилковые зоны. С учётом изложенного можно наметить площади на участках воздымания и погружения шарниров мегаскладок, локализованные на флангах относительно хорошо изученных рудных районов (см. рис. 4) и перспективные на обнаружение объёмных золоторудных месторождений. Имеет смысл обсудить также тот факт, что в Аян-Юряхской антиклинарной структуре россыпи и коренные объекты в значительной степени разобщены, а в Верхне-Индигирской и Адычанской – совмещены. Это может быть связано с погружением структуры в северном направлении, что могло происходить, в том числе, и в кайнозойское время. Ещё один непреложный факт геолого-структурной локализации оруденения в том, что после расщепления зоны Адыча-Тарынского разлома севернее Сентачанского месторождения в зоне данного разлома локализуются лишь мелкие золото-сурьмяные и золоторудные объекты.

По структурным и генетическим особенностям сереброрудные объекты Верхояно-Колымской складчатой области, в частности месторождения и проявления Верхоянской сереброрудной провинции, очень похожи на золото-кварцевые месторождения, составляющие основу минерально-сырьевой базы Яно-Колымской золотоносной провинции. Среди объектов Западно-Верхоянской провинции установлены как мондохронные и моногенные месторождения и проявления терминальных членов ряда базовых формаций (Кимпиче), так и сочетающие черты нескольких формационных типов (Меникенское рудное поле). Наконец, такие гиганты, как Мангазейское рудное поле (с ресурсным потенциалом серебра по разным оценкам от 40 до 80 тыс. т), обладают признаками объектов сложного – полигенного и полихронного генезиса, подобно крупным золоторудным объектам региона.

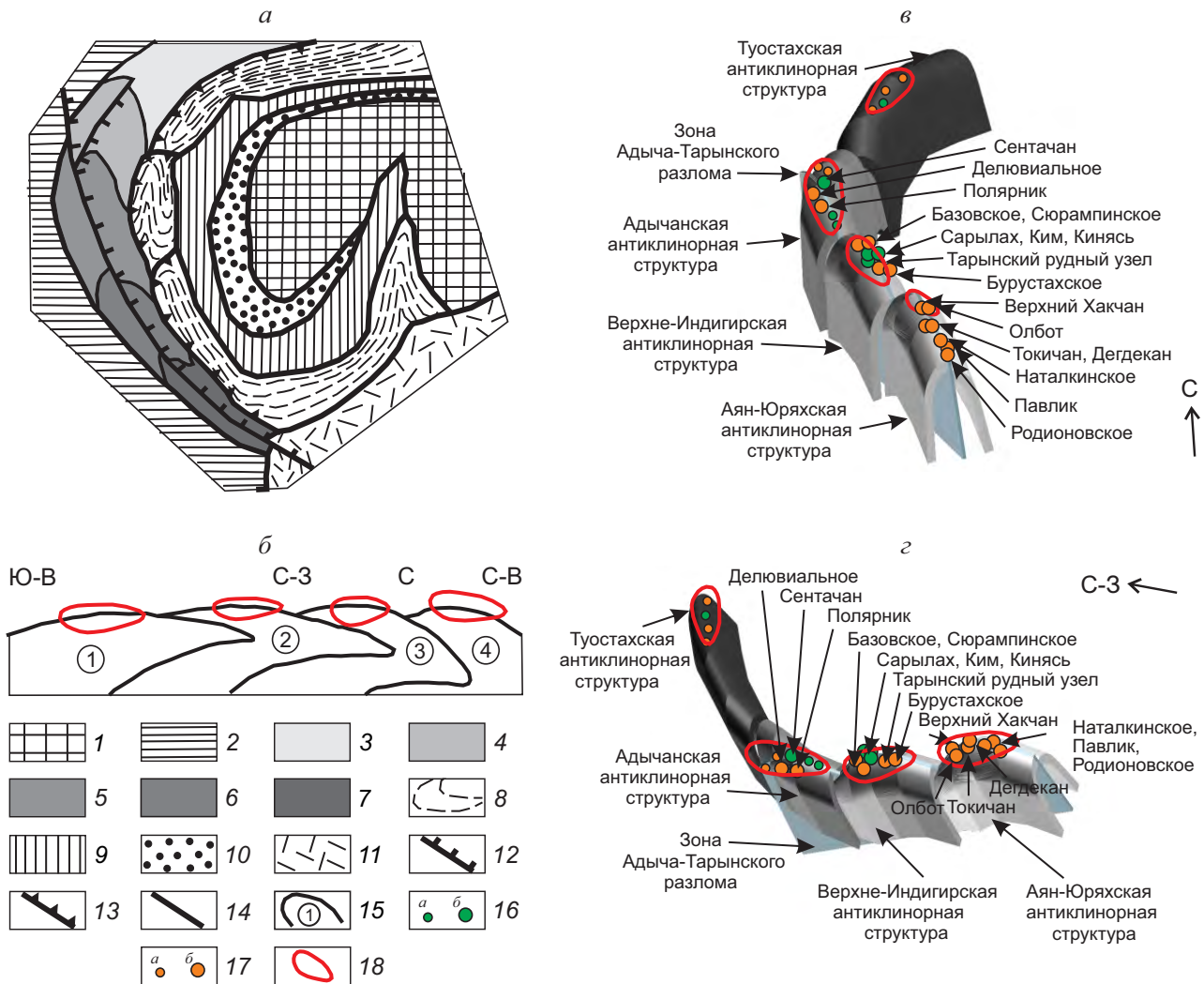


Рис. 4. Позиции антиклинальных структур Яно-Колымского пояса в структуре Верхояно-Колымской складчатой области [a]; продольный профиль через конические антиклинальные структуры [б]; позиция золоторудных объектов Яно-Колымской золотоносной провинции в антиклинальных структурах одноимённого складчато-надвигового пояса [блок-диаграммы в программе Micromine, Ю.В.Швецова, ООО «УК «ВостокУголь», схемы внемасштабные] [в, г]:

1 – плитный комплекс Колымо-Омолонского блока; 2 – структуры Яно-Охотского пояса; 3–7 – антиклинальные структуры Яно-Колымского пояса (3 – Полоусненская, 4 – Туостахская, 5 – Адычанская, 6 – Верхне-Индигирская, 7 – Аян-Юряхская); 8 – синклинальные структуры Яно-Колымского пояса; структуры Черско-Полоусненского (9), Илин-Тасского (10) поясов; 11 – Охотско-Чукотский вулканический пояс; 12 – разломы Адыча-Тарынской зоны; 13 – надвиги Чаркы-Индигирской зоны; 14 – границы структурных элементов Верхояно-Колымской складчатой области; 15 – границы антиклинальных структур Яно-Колымского пояса, цифры в кружках – конические антиклинальные структуры (1 – Аян-Юряхская, 2 – Верхне-Индигирская, 3 – Адычанская, 4 – Туостахская); 16 – золото-сурьмяные месторождения и проявления мелкие (a), средние, крупные (b); 17 – золоторудные месторождения и проявления мелкие (a), средние, крупные, гигантские (Наталкинское) (b); 18 – участки антиклинальных структур, перспективные на обнаружение золоторудных объектов

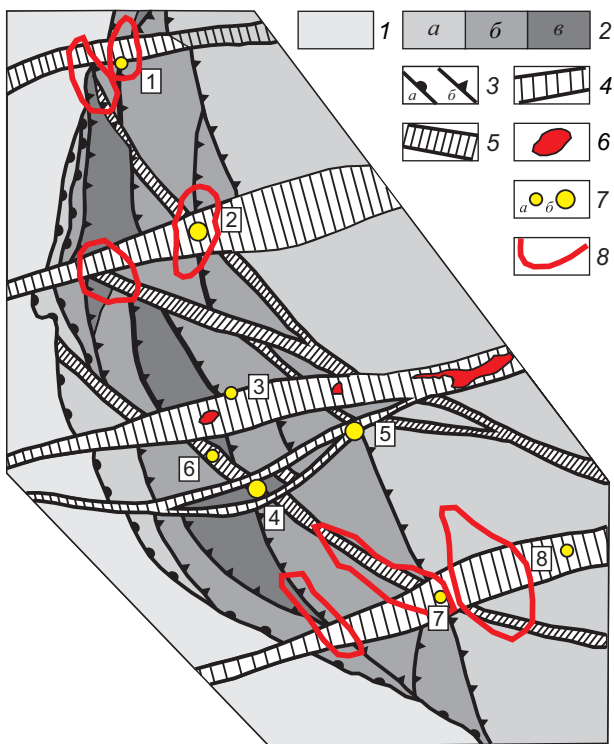


Рис. 5. Позиция объектов северной и центральной частей Западно-Верхоянской сереброрудной провинции в структуре Верхоянского пояса, схема внemасштабная:

1 – меловые отложения Предверхоянского краевого прогиба; 2 – верхоянский теригенный комплекс (*а* – преимущественно среднетриасовые (ладинские) – среднеюрские отложения, *б* – преимущественно нижнепермские (кунгурские) – среднетриасовые (анизийские) отложения, *в* – преимущественно среднекаменноугольные – нижнепермские (ассельские, сакмарские, артинские) отложения); 3 – разрывы (*а* – Предверхоянской системы надвигов, *б* – субмеридиональные Верхоянской системы разломов); 4 – поперечные ряды разрывов Вилуйско-Полоусенской системы; 5 – диагональные зоны разломов Собопольской системы; 6 – коллизионные гранитоиды поперечных рядов; 7 – наиболее значимые сереброрудные объекты (*а* – рудопроявления, рудные поля и рудные узлы с прогнозными ресурсами, *б* – месторождения и рудные поля, включающие объекты с балансовыми запасами); 8 – площади, перспективные на поиски сереброрудных объектов; номера на схеме: 1 – рудопроявление Южное, 2 – Кимпиче-Берелехское, 3 – Меникенское, 4 – Мангазейское рудные поля, 5 – месторождение Прогноз, 6 – Нюектаминский, 7 – Аллара-Сахский, Нижнеймиканский, 8 – Налучинский рудные узлы

Структуры Западно-Верхоянской провинции, в которых локализовано серебряное оруденение, обнаруживают значительное сходство с таковыми Яно-Колымской провинции, с поправкой, конечно, на своеобразие тектонического плана внешней зоны коллизии (Верхоянский пояс, западная часть Яно-Охотского пояса). Вмещающие оруденение толщи собраны здесь в систему широких сундучных антиклиновых и узких щелевидных синклиновых структур протяжённостью сотни километров каждая, кулисообразно подстраивающих друг друга. Оруденение приурочено главным образом к антиклиновым структурам. Каждая структура представляет собой серию узких линзовидных пластин с падением на восток, прислонённых друг к другу по системам разломов, субсогласным с общим простиранием структур. Кинематика разломов – взбросо-надвиговая с углами падения от 15–20° до субвертикальных. Наиболее протяжённые разломы (Западно-Верхоянский, Верхоянский, Джардан-Брюнгадинский, Аллах-Нельгесинский и др.), вероятно, имеют глубинную природу и сопровождаются сериями даек среднего-основного, редко щёлочно-ультраосновного состава. Системы данных разломов обычно разделяют антиклиновые и синклиновые пакеты пластин. Внутри пакетов пластины отделены друг от друга взбросами и надвигами, представляющими в совокупности систему листрических разрывов, сопряжённых с главными глубинными разломами. Антиклиновые структуры испытывают ундуляцию продольных осей с воздыманием и последующим погружением в северном направлении. Большинство сереброрудных объектов размещены на участках максимального воздымания антиклиновых структур и их погружения в северном направлении (рис. 5), но только при условии, что на данных участках в сводах и на погружении структур обнажаются определённые стратоуровни (Мангазейское, Кимпиченское, Меникенское, Аллара-Сахское рудные поля, месторождение Прогноз и др.).

Установлено несколько асимметричное положение рудных полей и узлов по отношению к ядрам антиклиновых структур в их поперечном (широтном) сечении. Пакеты пластин, слагающие антиклиновые структуры, имеют сундучную морфологию с крутым прилеганием пластин друг к другу к востоку от оси структур и пологим их надвиганием друг на друга в осевой части и на

западных крыльях. Рудные узлы и поля смешены от осей структур к сочленению сводовой зоны антиклинальных структур с их крутыми восточными крыльями. Это можно проиллюстрировать на примере Мангазейского рудного поля [11]. В такой же позиции локализованы Аллара-Сахское, Чочимбальское, Кысылтасское рудные поля, месторождение Верхнее Менкече, рудопроявления Южное, Верхне-Сынчинское и другие объекты провинции. Асимметричное положение рудных полей по отношению к сводам антиклинальных структур подчёркивается их локализацией в градиентных или знакопеременных зонах магнитного поля, тогда как магнитные минимумы фиксируются непосредственно в сводовой части структур. Классическая из описанных структур – Кимпиче-Берелехское рудное поле.

Кимпиче-Берелехское рудное поле, вмещающее месторождение Кимпиче, приурочено к ядерной части Имтанджинской гребневидной антиклинали (пластины), ограниченной взбросо-надвигами системы Верхоянского глубинного разлома (рис. 6). Шарнир Имтанджинской антиклинали ундулирует в северо-западном направлении. Рудное поле с севера и юга ограничено субширотными взбросами Эге-Хайской системы разломов, контролирующей одноимённый поперечный ряд гранитоидных интрузий. По имеющимся данным (А.И.Некрасов, 2009), разрывы Эге-Хайской системы это взбросы с субвертикальным падением, т.е. смещают рудные зоны только в вертикальной плоскости без разрыва сплошности оруденения. Однако они контролируют ступенчатое погружение шарнира антиклинали в северном направлении и, соответственно, делят рудные зоны на блоки с различным эрозионным срезом оруденения – минимальным на северо-западе. В этом смысле разломы являются рудоконтролирующими (В.В.Широков, А.И.Некрасов, 2007 г.; В.В.Широков, 2012 г.).

В глубинном строении Кимпиче-Берелехского рудного узла выявляются следующие закономерности. Западная его часть расположена на периферии Эчийского регионального гравитационного минимума, интерпретируемого различными исследователями как следствие прогиба докембрийского фундамента [15] или наличия гранито-гнейсового купола [4]. Отрицательное гравитационное поле в восточной части района через узкую высокоградиентную зону, интерпретируемую в качестве Верхоянского регионально-

го глубинного разлома, переходит в спокойное нейтральное поле Сартанского синклиниория [1].

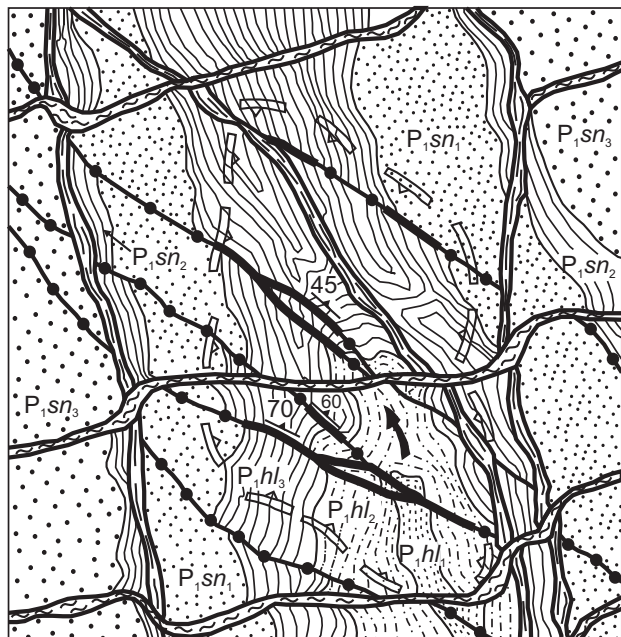
В пределах рудного поля гравитационный минимум осложнён поперечным Кимпиченским структурным поднятием [1; В.С.Андреев, 1969 г.; В.А.Рассолов, 1992 г.], где предполагается сокращённая мощность нижнего (рифей-среднепалеозойского) карбонатного чехольного комплекса. Поперечная конфигурация поднятия определяется субширотной – северо-восточной – зоной глубинных разломов Эге-Хайской системы.

В современном структурном плане Кимпиченское поднятие фиксируется локальным воздыманием шарниров антиклинальных складок при общем их погружении в северном направлении [16]. Разломы Собопольской системы по всему Верхоянскому поясу контролируют развитие зон максимального регионального метаморфизма, достигающего биотитовой субфаации зеленосланцевой фации [17]. Такие зоны повышенной проницаемости флюидов часто рудовмещающие. Именно с ними связано промышленное оруденение Кимпиче-Берелехского рудного поля.

Основные рудовмещающие зоны объекта – разломы Собопольской системы [2] и сопряжённые с ними субвертикальные трещины осевой плоскости кливажа Имтанджинской антиклинали, которыми сформированы оперяющие рудные зоны. Субширотные разломы Эге-Хайской системы, как указывалось, – взбросы с субвертикальным падением. Субмеридиональные разрывы Верхоянской системы ограничивают оруденение с запада и востока. Сочетание разрывных систем обусловливает скошено-прямоугольную структуру рудного поля в плане. Нетрудно видеть, что структурная позиция месторождения Кимпиче близка таковой выше охарактеризованных золоторудных объектов Яно-Колымской провинции. Это подчёркивает структурное единство региона в целом и коллизионной системы, в частности.

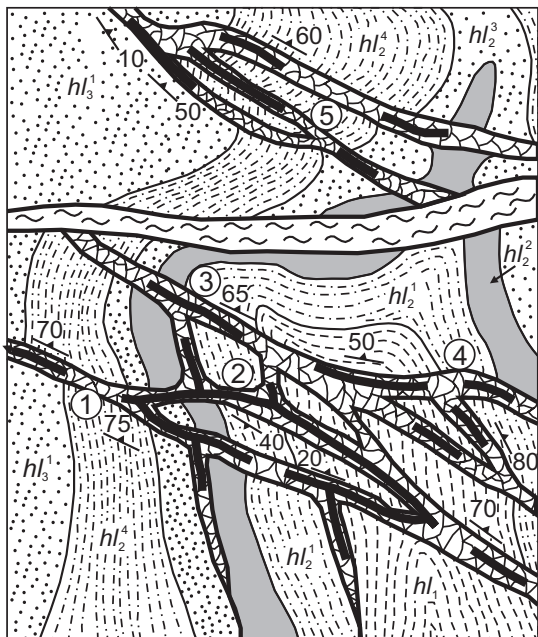
Выявление геолого-структурных обстановок локализации благороднометального оруденения в Верхояно-Колымской складчатой области направлено, прежде всего, на обоснование площадей проведения общих поисковых работ. Приведённые данные, безусловно, не позволяют определить участки поисков ранга рудных узлов (первые сотни квадратных километров), но дают возможность выделить площадь, на которой могут быть проанализированы все прямые и косвенные поисковые данные.

*a*



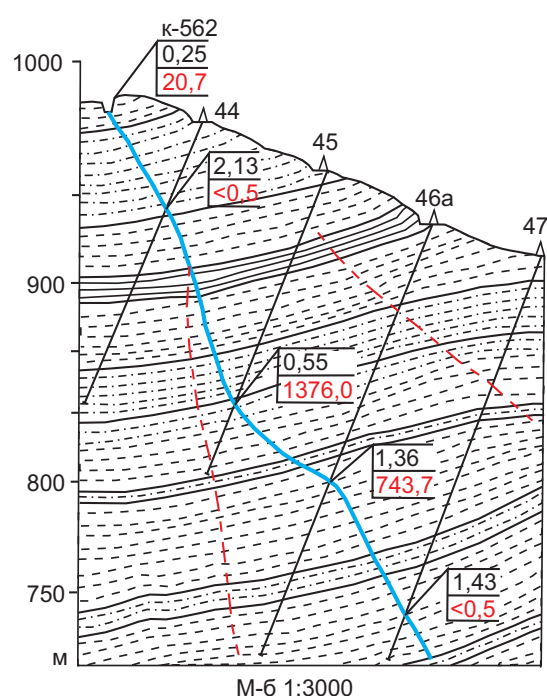
M-6 1:200 000

*б*

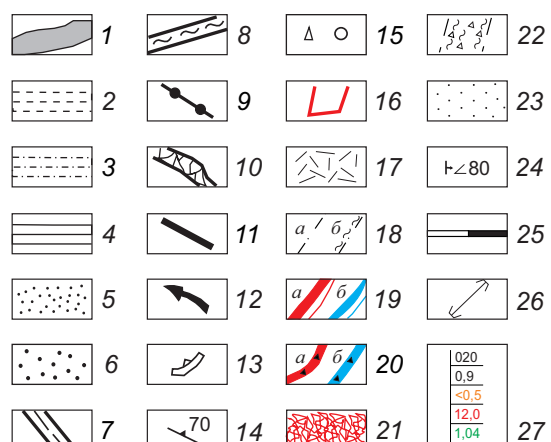


M-6 1:25 000

*в*



M-6 1:3000



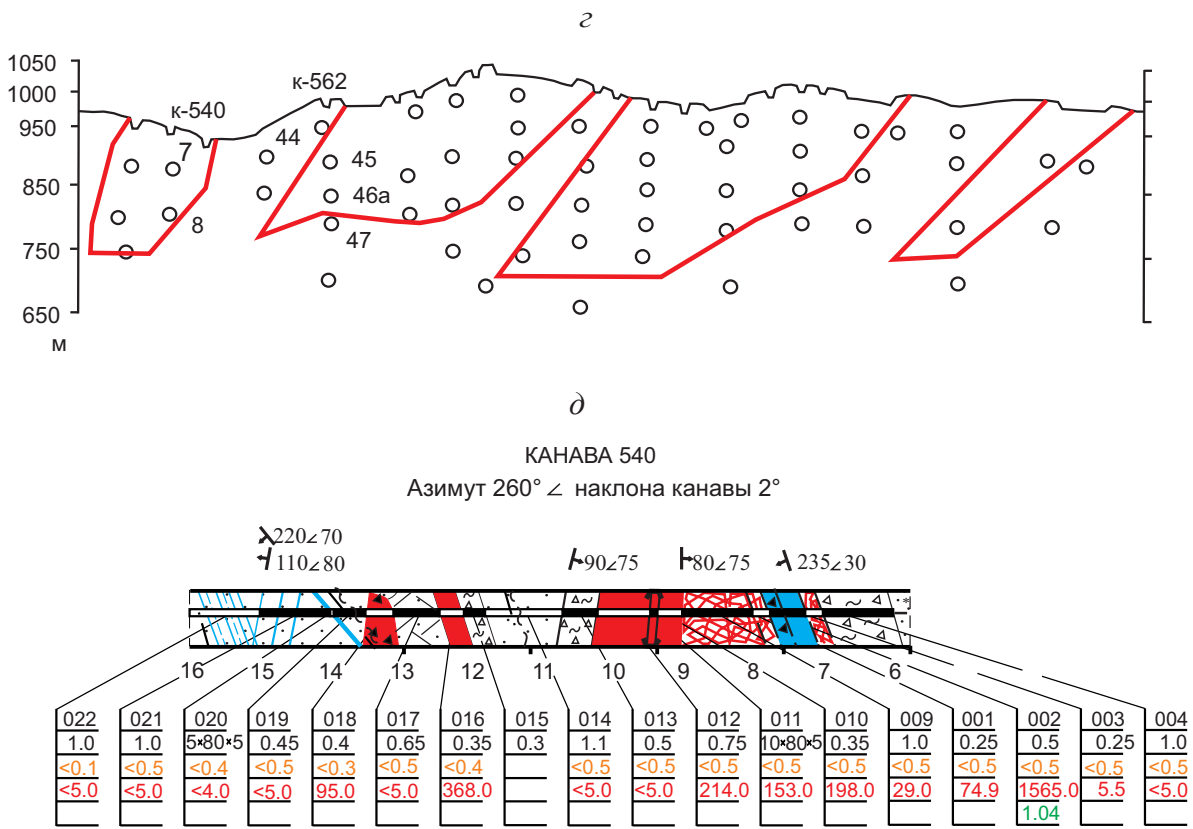


Рис. 6. Геолого-структурная схема Кимпиче-Берелехского рудного поля [а] и его центральной части [б] с разрезом по скважинам [в], проекцией рудной зоны 1 на вертикальную плоскость [г] и строением рудного тела в канаве 540 [д]:

подсвиты и литологические пачки терригенных пород верхоянского комплекса халдинской ( $P_1hl$ ) и сюренской ( $P_2sn$ ) свит: 1 – чередование мелкозернистых и крупнозернистых алевролитов с редкими прослойями алевритистых песчаников, 2 – крупнозернистые алевролиты с переходами до алевритистых песчаников, 3 – неритмичное до флишоидного чередование крупнозернистых и мелкозернистых алевролитов с пластами алевритистых песчаников и пакетами тонкослоистых алевритистых пород (нефелоидитов), 4 – неритмичное чередование разнозернистых алевролитов и алевритистых песчаников с пакетами мелкозернистых и алевритистых песчаников, 5 – мелкозернистые песчаники с прослойями крупнозернистых алевролитов, 6 – средне-мелкозернистые до крупнозернистые песчаники с пакетами чередования разнозернистых алевролитов и алевритистых песчаников и пакетами нефелоидитов; 7 – взбросо-надвиговые разрывы системы Верхоянского глубинного разлома; 8 – взбросы Эге-Хайской системы разломов; 9 – рудовмещающие левые сдвиги Собопольской системы разломов; 10 – рудные зоны; 11 – рудные зоны и рудные тела с сурьмяно-медио-серебряным оруденением; 12 – направление ундуляции шарнира Имтанджинской антиклинали; 13 – контур поля развития метасоматитов аргиллизитовой формации; 14 – элементы залегания рудных зон; 15 – скважины колонкового бурения; 16 – контуры рудных тел на проекции рудной зоны 1; 17 – участки повышенной трещиноватости; 18 – тектонические трещины (а – «сухие», б – с глинкой трения); 19 – жилы и прожилки (а – кварц-сидеритовые, б – кварц-сидерит-сульфидные); 20 – брекчии (а – с кварц-сидеритовым, б – кварц-сидерит-сульфидным цементом); 21 – брекчированные и прожилкованные породы с кварц-сидеритовым цементом; 22 – дроблённые до глины, дресвы и щебня (60–70% и более) породы; 23 – алевритистые песчаники; 24 – элементы залегания трещин, прожилков, жил, брекчий, дроблённых пород; 25 – бороздовые пробы; 26 – задирковые пробы; 27 – результаты опробования (сверху вниз – номер пробы, длина пробы (м), содержание Au (г/т), Ag (г/т), Cu (%)); цифры в кружках: 1 – месторождение Кимпиче, зона 1, 2 – месторождение Кимпиче, зона 1а, 3 – рудопроявление Зона Розовая, 4 – рудопроявление Малахитовое, 5 – рудопроявление Промежуточное

### СПИСОК ЛИТЕРАТУРЫ

1. Андреев В.С. Государственная геологическая карта СССР масштаба 1:200 000. Сер. Верхоянская. Лист Q-52-IX, Х. Объяснительная записка. – Л.: Ленинградская картфабрика ВСЕГЕИ, 1981.
2. Аристов В.В., Тихонова Н.В., Орлова Г.Ю., Соловьев К.В. Новое сереброрудное месторождение Кимпиче в Западном Верхоянье // Руды и металлы. 2006. № 2. С. 28–41.
3. Артюшков Е.В. Физическая тектоника. – М.: Наука, 1993.
4. Гриненко В.С., Стогний Г.А. О глубинном строении Куранахского антиклиниория (Западное Верхоянье) // Надвиги и шарьяжи платформенных и складчатых областей Сибири и Дальнего Востока и их металлогеническое значение. Иркутск, 1992. С. 98–99.
5. Константинов М.М. Золоторудные провинции мира. – М.: Научный мир, 2006.
6. Константинов М.М., Косовец Т.Н. Стратiformные золото-кварцевые месторождения в турбидитах Южной Якутии // Руды и металлы. 1996. № 3. С. 5–21.
7. Концепция новых центров экономического роста в современных условиях на примере Яно-Колымской золоторудной провинции / Б.К.Михайлов, А.И.Некрасов, О.В.Петров и др. // Региональная геология и металлогенетика. 2010. № 42. С. 65.
8. Костин А.В. О полигенности золотых и серебряных месторождений фронтальной части Верхоянского складчатого пояса // Отечественная геология. 2002. № 4. С. 8–11.
9. Костин А.В. Прогноз крупных месторождений серебра в Западном Верхоянье на примере Мангазейского рудного поля // Отечественная геология. 1997. № 9. С. 32–36.
10. Наталкинское золоторудное месторождение – строение и основные поисковые признаки / С.А.Григорьев, В.Д.Ворожбенко, П.И.Кушнарев и др. // Отечественная геология. 2007. № 3. С. 43–50.
11. Некрасов А.И. Золото-меднопорфировое с серебром оруденение Эндыбальского субвулкана «Западное Верхоянье» // Руды и металлы. 2009. № 2. С. 46–57.
12. Некрасов А.И. О причинах совмещения золотого, серебряного и полиметаллического оруденения в месторождениях Западного Верхоянья (Восточная Якутия) // Золото Сибири и Дальнего Востока: геология, геохимия, технология, экономика, экология. Улан-Удэ, 2004. С. 137–139.
13. Некрасов А.И. Эволюция Верхоянского палеобассейна лавинной седиментации в позднем палеозое – раннем мезозое (на примере Западного Верхоянья) // Вестн. Госкомгеологии РС (Я). 2004. № 1 (6). С. 72–84.
14. Некрасов А.И., Костин А.В. Золото-серебряное оруденение как индикатор геодинамического развития восточной окраины Сибирского кратона // Мат-лы XXXVIII Тектонического совещания «Тектоника земной коры и мантии. Тектонические закономерности размещения полезных ископаемых». М., 2005. Т. II. С. 32–36.
15. Тектоника, геодинамика и металлогенетика территории Республики Саха (Якутия) / Отв. ред. Л.М.Парфенов, М.И.Кузьмин. – М.: МАИК «Наука/Интерпериодика», 2001.
16. Тихонова Н.В., Задорожный Д.Н. Структурная позиция месторождения Кимпиче (Западное Верхоянье (Якутия)) // Тектоника и металлогенетика Северной Циркум-Пацифики и Восточной Азии. Хабаровск, 2007. С. 547–550.
17. Япаскурт О.В., Косоруков В.Л., Золотарев Д.А. Седиментогенез начальных периодов развития Верхоянской геосинклиналии // Вестн. МГУ. Сер. 4. Геология. 1993. № 4. С. 44–55.

Некрасов Алексей Иванович,  
кандидат геолого-минералогических наук  
anekrasov@vostok-coal.ru

### THE TYPES OF GEOLOGICAL-STRUCTURAL ENVIRONMENTS OF GOLD AND SILVER MINERALIZATION OF THE YANA-KOLYMA AND WEST VERKHOYANSK PROVINCES, NORTH-EAST YAKUTIA

A.I.Nekrasov

*Geological-structural situation of localization, hosting precious metal mineralization, due to a combination of factors – the location of mineralization at certain strata levels, in the gradient zones of geophysical fields, mostly in the «shoulders» of anticlinal structures on the land to their maximum vadiminity in the Yana-Kolyma province and the areas of their excesses in the West Verkhoyansk province, were reviewed. Fields of interaction between three systems of regional and supra-regional faults play a significant role in the location of mineralization.*

*Key words:* Verkhoyansk-Kolyma fold area, Yana-Kolyma gold-bearing province, West Verkhoyansk silver ore province, ore areas, ore field, deposit.